

弾性基礎上の円筒形タンクの非軸対称温度応力について

北海道大学 正員 三上 隆  
 東洋エンジニアリング 正員 〇田 巻 雅  
 北海道大学 正員 福士 彰 二

1 まえがき 我が国の資源条件から石油の備蓄が必要であり、比較的脆弱地盤上に円筒形タンクが建設されるようになり、その安全性についての問題が大きく取り扱われるようになってきた。タンクは基礎土の底板及び側板より構成されるが、その基礎土と与えられる温度分布を受けるとの挙動は地盤との関連で全体の一つの系として検討を加えることが望まれる。

軸対称問題については昨年報告<sup>(1)</sup>したが、本報告は底板を弾性ばねで支持した円板のみならず、複雑な温度分布に対する解析が可能なるように、この問題に有限差分法<sup>(2)</sup>を適用し、タンク内外の温度差、弾性ばねのタンク挙動に与える影響を検討したものである。

2 解析方法 解析にあたって、変形は微小であり、材料は等方、等弾性を有するものとする。

(1) 側板要素の平衡方程式

図-1に示すように、長手方向(x方向)変位をu、円周方向(θ方向)変位をv、板厚方向変位をwとする。

面内ひずみを $\epsilon_x, \epsilon_\theta, \gamma_{x\theta}$ 、面外ひずみを $\chi_x, \chi_\theta, \chi_{x\theta}$ と表わすと、応力-ひずみ関係式は次式で与えられる。

$$\begin{Bmatrix} N_x \\ N_\theta \\ N_{x\theta} \\ M_x \\ M_\theta \\ M_{x\theta} \end{Bmatrix} = \begin{bmatrix} B & \nu B & 0 & 0 & 0 & 0 \\ \nu B & B & 0 & 0 & 0 & 0 \\ 0 & 0 & \frac{1-\nu}{2} B & 0 & 0 & 0 \\ 0 & 0 & 0 & D & \nu D & 0 \\ 0 & 0 & 0 & \nu D & D & 0 \\ 0 & 0 & 0 & 0 & 0 & \frac{1-\nu}{2} D \end{bmatrix} - \frac{E\alpha}{1-\nu} \begin{Bmatrix} T \\ T \\ 0 \\ \bar{T} \\ \bar{T} \\ 0 \end{Bmatrix} \quad \text{---(1)}$$

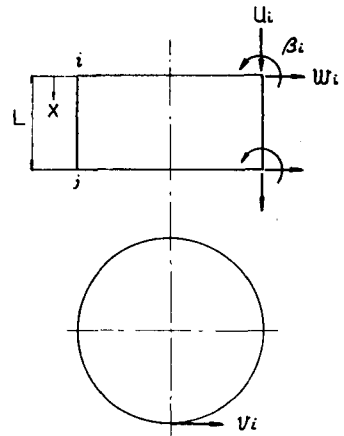


図-1 側板要素

ここで、 $N_x, N_\theta, N_{x\theta}$  は応力、 $M_x, M_\theta, M_{x\theta}$  は曲げモーメント、 $\nu$  はポアソン比、 $E$  は弾性係数、 $\alpha$  は材料の線膨張係数であり、 $D = Eh^3/12(1-\nu^2)$ 、 $B = Eh/(1-\nu^2)$ 、 $h =$  底板の厚さとする。

温度分布(T)を無ひずみ、無応力状態からの温度分布とするとき式(1)における $T, \bar{T}$ は次式で与えられる。

$$\begin{aligned} T &= \int_{-h/2}^{h/2} T(\alpha, \theta, z) dz \\ \bar{T} &= \int_{-h/2}^{h/2} T(\alpha, \theta, z) z dz \end{aligned} \quad \text{---(2)}$$

ひずみ-変位の関係は次式で表示できる。

$$\begin{aligned} \epsilon_x &= \frac{\partial u}{\partial x}, \quad \epsilon_\theta = \frac{1}{a} \left( \frac{\partial v}{\partial \theta} + w \right) \\ \gamma_{x\theta} &= \frac{1}{a} \left( \frac{\partial u}{\partial \theta} + \frac{\partial v}{\partial x} \right), \quad \chi_x = -\frac{\partial^2 w}{\partial x^2} \\ \chi_\theta &= \frac{1}{a^2} \left( \frac{\partial^2 w}{\partial \theta^2} - \frac{\partial v}{\partial \theta} \right), \quad \chi_{x\theta} = \frac{1}{a} \left( \frac{\partial^2 w}{\partial x \partial \theta} - \frac{\partial v}{\partial x} \right) \end{aligned} \quad \text{---(3)}$$

ここで、 $a$  は  $r = 7$  半径である。

変位u, v, wは長手方向は多項式で、円周方向は1-1工数で展開すると、それぞれは次式で与えられる。

$$\begin{aligned} u &= (1-x/L) \cos n\theta u_1^{(n)} + (x/L) \cos n\theta u_2^{(n)} \\ v &= (1-x/L) \sin n\theta v_1^{(n)} + (x/L) \sin n\theta v_2^{(n)} \\ w &= (1-3x^2/L^2 + 2x^3/L^3) \cos n\theta w_1^{(n)} + (x-2x^2/L + x^3/L^2) \cos n\theta \\ &\quad \cdot \theta_1^{(n)} + (3x^2 - 2x^3/L) \cos n\theta w_2^{(n)} + (-x^2/L + x^3/L^2) \cos n\theta \theta_2^{(n)} \end{aligned} \quad \text{---(4)}$$

要素のひずみエネルギーは次式で表わされる。

$$\begin{aligned} U &= \frac{1}{2} \int \left[ B \{ (\epsilon_x + \epsilon_\theta)^2 + 2(1-\nu) \left( \frac{\gamma_{x\theta}^2}{4} - \epsilon_x \epsilon_\theta \right) + 2 \frac{E\alpha}{1-\nu} (\epsilon_x + \epsilon_\theta) \times \right. \\ &\quad \left. T \right] a d\theta dx + \frac{1}{2} \int \left[ D \{ (\chi_x + \chi_\theta)^2 + 2(1-\nu) (\chi_\theta^2 - \chi_x \chi_\theta) \} - \right. \end{aligned}$$

$$2 \frac{E\alpha}{1-\nu} (z_1 + z_0) \tilde{\gamma} \int_0^a dx + R \int \int G(T) dx dy \dots (5)$$

ここで、 $G(T)$  は丁のみの数値である。

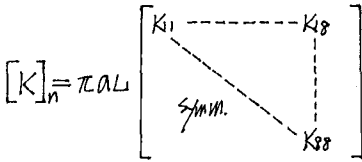
式(3)、(4)を式(5)に代入しポテンシャルエネルギー最小の原理より次式が得られる。

$$[K]_n \{ \delta \}_n = \{ Q \}_n \dots (6)$$

ここに  $[K]_n$  は要素の剛性マトリックスの第  $n$  項、 $\{ \delta \}_n$  は温度分布に等価な荷重である。

$$\{ \delta \}_n = \{ u_i^{(n)} \ v_i^{(n)} \ w_i^{(n)} \ \theta_i^{(n)} \ u_j^{(n)} \ v_j^{(n)} \ w_j^{(n)} \ \theta_j^{(n)} \}^T$$

以下に  $[K]_n$  の内容を示すに次のようにする。



$$K_1 = K_{35} = B/L^2 + n^2 B_2 / (30A^2), \quad K_{12} = -n(B_1 - B_2) / (20AL)$$

$$K_{56} = -K_{12}, \quad K_{16} = -n(B_1 + B_2) / (20AL), \quad K_{25} = -K_{16}$$

$$K_3 = K_{17} = -B_1 / (20AL), \quad K_{35} = K_{57} = -K_{13},$$

$$K_4 = K_{58} = -B_1 / (12AL), \quad K_{18} = K_{45} = -K_{14},$$

$$K_{15} = -B/L^2 + n^2 B_2 / (60A^2), \quad K_{28} = -nLB / (30A^2) - n^2 B_2 / (30A^2)$$

$$K_{22} = K_{66} = n^2 B / (30A^2) + B_2/L^2 + n^2 D / (30A^2) + 4B_2 / (L^2 A^2)$$

$$K_{23} = K_{67} = n^2 B / (20A^2) + nB_1 / (L^2 A^2) + n^2 n^2 D / (20A^2) + 4nB_2 / (L^2 A^2)$$

$$K_{24} = nLB / (20A^2) + nB_1 / (L^2 A^2) + n^2 n^2 D / (20A^2), \quad K_{68} = -K_{24}$$

$$K_{26} = n^2 B / (60A^2) - B_2/L^2 + n^2 D / (60A^2) - 4B_2 / (L^2 A^2)$$

$$K_{27} = K_{65} = 3nB / (20A^2) - nB_1 / (L^2 A^2) + 3n^2 D / (20A^2) - 4nB_2 / (L^2 A^2)$$

$$K_{33} = K_{177} = 13B / (35A^2) + 12B/L^2 + 12n^2 D / (35A^2) + B_1 n^2 D / (35A^2) + 24n^2 B_2 / (35L^2 A^2), \quad K_{34} = 11LB / (210A^2) + 6B/L^2 + 6n^2 D / (35A^2) + 11n^2 B_2 / (210A^2) + 2n^2 B_2 / (35L^2 A^2), \quad K_{78} = -K_{34}$$

$$K_{37} = 9B / (70A^2) + 2B/L^2 + 2n^2 D / (35A^2) + 9n^2 D / (70A^2) - 24n^2 B_2 / (35L^2 A^2), \quad K_{38} = 6B/L^2 - 13LB / (420A^2) + n^2 D / (35L^2 A^2) + 2n^2 B_2 / (35L^2 A^2) - 13L n^2 B / (420A^2)$$

$$K_{38} = 2B/L^2 - 13LB / (420A^2) - n^2 D / (15A^2) - n^2 B_2 / (420A^2) - 2n^2 D / (15A^2)$$

$$K_{44} = K_{88} = 4B/L^2 + 13LB / (105A^2) + 4n^2 D / (15A^2) + n^2 L^2 B / (105A^2) + 8n^2 B_2 / (15A^2), \quad K_{47} = -K_{38}, \quad K_{46} = -K_{28}$$

ここで、 $B_1 = \nu B$ ,  $B_2 = (1-\nu)B/2$ ,  $D = \nu D$ ,  $D_2 = (1-\nu)D/2$

温度分布は変位と同様に円周方向( $\theta$ 方向)に7-1工線数、板厚及び長さ方向( $x$ 方向)に直線変化するとし、次式で表す。

$$T = T_0(x) \cos n\theta = \{ (A_1 + B_1 x) x + C_1 + n^2 x y \cos n\theta \} \dots (7)$$

ここで、 $x$  は中立面からの距離、 $A_1 \sim D_1$  は要素両端  $i$  点での側板の上下面の温度分布より定まる定数、側板円周方向温度分布は図-2に示す分布状態を仮定する。すなわち

$$-\pi/2 \leq \theta \leq \pi/2 \text{ で } T(\theta) = T_{const} + T_0 \cos \theta \dots (8)$$

$$\pi/2 < \theta < 3\pi/2 \text{ で } T(\theta) = T_{const} \dots (9)$$

円周方向に次式の7-1工線数で展開する。

$$T(\theta) = \sum A_n \cos n\theta \dots (10)$$

ここで、 $A_0 = T_{const} + T_0/\pi$ ,  $A_1 = T_0/2$

$$A_n = 2T_0(1-\nu)^{1/2} / \{ (1-\nu)^2 \pi y \ n \geq 2$$

(2) 底板要素の平衡方程式

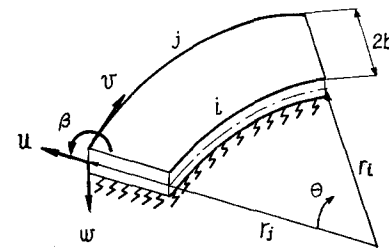


図-3 底板要素

ここで、底板を一樣な弾性ばねで支持されたF板とみなし、弾性ばねとしてはWinkler型のばねを仮定する。

図-3に示すような要素中が  $2b$ 、板厚  $h$  のモデルを考へ、変位成分として、半径方向( $r$ 方向)変位を  $u$ 、円周方向( $\theta$ 方向)変位を  $v$ 、鉛直方向変位を  $w$  と表す。

応力-ひずみ関係は次式で与えられる。

$$\begin{Bmatrix} N_r \\ N_\theta \\ N_{r\theta} \\ M_r \\ M_\theta \\ M_{r\theta} \end{Bmatrix} = \begin{bmatrix} B & \nu B & 0 & 0 & 0 & 0 \\ \nu B & B & 0 & 0 & 0 & 0 \\ 0 & 0 & \frac{1-\nu}{2} B & 0 & 0 & 0 \\ 0 & 0 & 0 & D & \nu D & 0 \\ 0 & 0 & 0 & \nu D & D & 0 \\ 0 & 0 & 0 & 0 & 0 & \frac{1-\nu}{2} D \end{bmatrix} \begin{Bmatrix} \epsilon_r \\ \epsilon_\theta \\ \epsilon_{r\theta} \\ \chi_r \\ \chi_\theta \\ \chi_{r\theta} \end{Bmatrix} \xrightarrow{E\alpha} \begin{Bmatrix} T \\ T \\ 0 \\ \tilde{T} \\ \tilde{T} \\ 0 \end{Bmatrix} \dots (11)$$

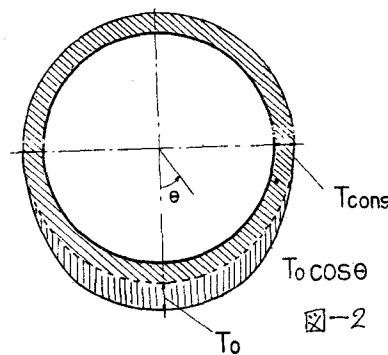


図-2

<<で、記号  $\Delta$ ,  $B$ ,  $D$  などは側板要素と同様である。

面内ひずみ  $\epsilon_r, \epsilon_\theta$ , 面外ひずみ  $\chi_r, \chi_\theta, \chi_{r\theta}$  は,  
 $\epsilon_r = \partial u / \partial r$ ,  $\epsilon_\theta = \partial v / \partial \theta + u / r$ ,  $\chi_r = (\partial w / \partial r) / r + \partial \psi / \partial r - \psi / r$   
 $\chi_r = \partial w / \partial r^2$ ,  $\chi_\theta = -(\partial w / \partial r) / r^2 - (\partial w / \partial r) / r$ ,  $\chi_{r\theta} = (\partial^2 w / \partial r \partial \theta) / r + (\partial^2 w / \partial \theta^2) / r^2$   
 変位関数は側板要素と同様に次式を用いる。----- (12)

$u = \{ (1-R/2) u_i^{(n)} + (R/2) u_j^{(n)} \} \cos n\theta$   
 $v = \{ (1-R/2) v_i^{(n)} + (R/2) v_j^{(n)} \} \sin n\theta$  ----- (13)  
 $w = \{ (1-3R/4 + R^2/4) w_i^{(n)} + (R-3R^2/4) w_j^{(n)} + (3R^2/4 - R^3/4) w_j^{(n)} + b(R^2/4 - R^3/2) \beta_j^{(n)} \} \cos n\theta$

<<で、 $R = (r - r_i) / b$ ,  $b = (r_j - r_i) / 2$   
 弾性ばねの側板反力係数を  $F_{sv}$  とし、弾性ばね上の底板のひずみエネルギーを求めると、

$U = (1/2) \iint [ B \{ (\epsilon_r + \epsilon_\theta)^2 + 2(1-\nu) \epsilon_r \epsilon_\theta / 4 - \epsilon_r \epsilon_\theta \} - 2E\alpha(\epsilon_r + \epsilon_\theta) T / (1-\nu) ] r dr d\theta + (1/2) \iint D [ (\chi_r + \chi_\theta)^2 + 2(1-\nu) (\chi_r \chi_\theta - \chi_{r\theta}) - 2E\alpha(\chi_r + \chi_\theta) T / (1-\nu) + F_{sv} w^2 ] r dr d\theta + \pi \iint G(r) r dr$  ----- (14)

底板要素の平衡方程式は側板要素と同様に得られ、

$[ [K_p] + [K_{sv}] ] \{ \delta_j \}_n = \{ Q_j \}_n$  ----- (15)

<<で、 $\{ \delta_j \}_n = \{ u_i^{(n)}, v_i^{(n)}, w_i^{(n)}, \beta_i^{(n)}, u_j^{(n)}, v_j^{(n)}, w_j^{(n)}, \beta_j^{(n)} \}^T$   
 $[K_p]$ ,  $[K_{sv}]$  は円板、弾性ばねによる固有マトリックス、 $Q_j$  は荷重である。 $K_{sv}$  は容易に得るべきことができるので以下に  $[K_p]$  の内積を零以外の要素について示す。

$[K_p] = \pi \begin{bmatrix} K_{11} & & & \\ & K_{18} & & \\ & & \text{symm.} & \\ & & & K_{88} \end{bmatrix}$  ----- (16)

$K_{11} = B(b+r_i)/(2b) - B_1 + b(B + n^2 B_2)(I_0 - I_1 + I_2/4)$   
 $K_{12} = -n(B_1 - B_2)/2 + nb(B + B_2)(I_0 - I_1 + I_2/4)$   
 $K_{15} = -B(b+r_i)/(2b) + b(B + n^2 B_2)(I_1 - I_2/2)/2$   
 $K_{16} = -n(B_1 + B_2)/2 + bn(B_1 + B_2)(I_1 - I_2/2)/2$   
 $K_{22} = b(n^2 B + B_2)(I_0 - I_1 + I_2/4) + B_2(3b+r_i)/(2b)$   
 $K_{25} = n(B_1 + B_2)/2 + bn(B + B_2)(I_1 - I_2/2)/2$   
 $K_{26} = b(n^2 B + B_2)(I_1 - I_2/2)/2 - B_2(b+r_i)/(2b)$   
 $K_{55} = B(b+r_i)/(2b) + B_1 + b(B + n^2 B_2)I_2/4$   
 $K_{56} = n(B_1 - B_2)/2 + bn(B + B_2)I_2/4$   
 $K_{66} = B_1(r_i - b)/(2b) + b(n^2 B + B_2)I_2/4$   
 $K_{33} = 3b(1+r_i/b)/(2b^2) + 3n^2 B(I_0 - I_1 - 3I_2/4 + I_3 - I_4/4) + 9X_1(I_2 - I_3 + I_4/4)/(4b) + 3X_2(J_1 - J_2/2 - 3J_3/4 + 5J_4/8 - J_5/8) + bX_3(L_0 - 3L_2/2 + L_3/2 + 9L_4/16 - 3L_5/8 + L_6/16)$   
 $K_{34} = bX_1(1+3r_i/b)/b + n^2 B(2I_0 - 9I_2/2 + 7I_3/2 - 3I_4/4) + 3X_1(-I_1 + 5I_2/2 - 7I_3/4 + 3I_4/8) + bX_2(-J_0 + 2J_1 + 3J_2/2 - 4J_3 + 35J_4/16 - 3J_5/8)$

$+ b^2 X_3(L_1 - L_2 - L_3/2 + L_4 - 7L_5/16 + L_6/16)$   
 $K_{37} = -3(1+r_i/b)D/(2b^2) - 3n^2 B(I_0 - I_1 - 3I_2/4 + 2I_3 - I_4/2) - 9X_1(I_2 - I_3 + I_4/4)/(4b) + 3X_2(-J_1 + J_2/2 + 3J_3/2 - 5J_4/4 + J_5/4)/2 + bX_3(3L_2 - L_3 - 9L_4/4 + 3L_5/2 - L_6/4)/4$   
 $K_{38} = \{ 2/b + 3r_i/(2b^2) \} D + n^2 B(I_0 - 3I_1/2 - 3I_2/2 + 5I_3/2 - 3I_4/4) + 3X_2(I_2 - 5I_3/4 + 3I_4/8)/2 + bX_2(-J_1 - 3I_2/4 - 3J_3/2 + 25J_4/16 - 3J_5/8) + b^2 X_3(-L_2 + L_3/2 + 3L_4/4 - 5L_5/8 + L_6/8)$   
 $K_{44} = (1+2r_i/b)D + \{ -1 + bn^2(4I_1 - 7I_2 + 4I_3 - 3I_4/4) \} D + bX_1(I_0 - 4I_1 + 11I_2/2 - 3I_3 + 9I_4/16) + 2b^2 X_2(-J_1 + 3J_2 - 3J_3 + 5J_4/4 - 3J_5/16) + b^2 X_3(L_2 - 2L_3 + 3L_4/2 - L_5/2 + L_6/16)$   
 $K_{47} = -D\{ (1+3r_i/(2b)) \} / b - n^2 B(3I_1 - 9I_2 + 7I_3 - 3I_4/2)/2 + 3X_1(I_1 - 5I_2/2 + 7I_3/4 - 3I_4/8)/2 + bX_2(-9J_2/2 + 8J_3 - 35J_4/8 + 3J_5/4)/2 + b^2 X_3(3L_3 - 4L_4 + 7L_5/4 - L_6/4)$   
 $K_{48} = (1+r_i/b)D + bn^2 B(I_1 - 7I_2/2 + 3I_3 - 3I_4/4) + bX_1(-I_1 + 11I_2/4 - 9I_3/4 + 9I_4/16) + b^2 X_2(3I_2/2 - 3I_3 + 5J_4/8 - 3J_5/8) + b^2 X_3(-L_3 + 3L_4/2 - 3L_5/4 + L_6/8)$   
 $K_{77} = 3(1+r_i/b)D/(2b^2) - 3n^2 B(3I_2 - 4I_3 + I_4)/4 + 9X_1(I_2 - I_3 + I_4/4)/(4b) + 3X_2(-3I_3 + 5I_4/2 - J_5/2)/4 + bX_3(9L_4 - 6L_5 + L_6)/16$   
 $K_{78} = \{ 2/b + 3r_i/(2b^2) \} D + n^2 B(3I_2 - 5I_3 + 3I_4/2)/2 + 3X_1(-I_2 + 5I_3/4 - 3I_4/8)/2 + bX_2(6I_3 - 25I_4/4 + 3J_5/2)/4 + b^2 X_3(-3L_4 + 5L_5/2 - L_6/2)/8$   
 $K_{88} = (3+2r_i/b)D + \{ 1 + bn^2(2I_3 - I_2 - 3I_4/4) \} D + bX_1(I_2 - 3I_3/2 + 9I_4/16) + b^2 X_2(-J_3 + 5J_4/4 - 3J_5/8) + b^2 X_3(L_4 - L_5 + L_6/4)/4$   
 <<で、 $B_1 = \nu B$ ,  $B_2 = (1-\nu)B/2$ ,  $D_1 = \nu D$ ,  $D_2 = (1-\nu)D/2$   
 $X_1 = D + 4n^2 D_2$ ,  $X_2 = n^2(D + 4D_2)$ ,  $X_3 = n^2(n^2 D + 4D_2)$   
 $I_0 \sim I_4$ ,  $J_0 \sim J_5$ ,  $L_0 \sim L_6$  は次の積分より得られる。  
 $I_s = \int_0^2 \frac{R^s}{bR+r_i} dR$   $s=0 \sim 4$ ,  $J_s = \int_0^2 \frac{R^s}{b(R+r_i)^2} dR$ ,  $s=0 \sim 5$   
 $L_s = \int_0^2 \frac{R^s}{b(R+r_i)^3} dR$   $s=0 \sim 6$   
 底板要素の温度分布は側板要素と同じく、板厚、半径方向に直線変化をなし、円周方向にはフーリエ級数で展開できるとする。  
 $T = T(r, \theta, z) = \{ (A_1 + B_1 z)(Rb+r_i) + C_1 + D_1 z \} \cos n\theta$   
 <<で、 $A_1 \sim D_1$  は底板要素の係数  $\delta_j$  ----- (17)  
 点ごとの温度分布より求まる定数である。また円周方向の温度分布は側板要素と同様の関数を仮定する。  
 3. 解析例  
 以下の解析にたいしては、材料定数として  $E = 21 \times 10^5 \text{ kg/cm}^2$ ,  $\nu = 1/6$  で、側板の高さ  $h = 15.3 \text{ cm}$ , 半径  $a = 8 \text{ cm}$ , 側板の厚さ  $h_1 = 25 \text{ mm}$ , 底板の厚さ  $h_2 = 25 \text{ mm}$  とする。分割数は側板 120 分割, 底板については 80 分割である。

図-4 から図-7 は下端固定の円筒形タ  
 ンクの結果で、温度分布は図-2において  
 内壁表面が $0^{\circ}\text{C}$ 、外壁表面では $\text{const}=0^{\circ}\text{C}$ 、  
 $T_0=15^{\circ}\text{C}$ である。図-4には上端ホウビ、  
 $\frac{x}{L}=0.5$ における半径方向変位 $w$ を、図-5  
 には固定端における長さ方向曲げモーメント  
 $M_x$ を、図-6、7にはそれぞれ各断面の曲  
 げモーメント $M_x$ 、変位 $w$ を图示したもので  
 ある。

弾性基礎上の円筒形タンクの解析例とし  
 て、地盤反力係数 $E_{sv}=2\text{kg/cm}^2$ としたときの  
 結果の一部を図-8、図-9に示す。温度  
 分布は前記のそ  
 のと同じもので  
 ある。図-8は  
 側板上端の変位  
 $w$ を、図-9は曲  
 げモーメント $M_x$   
 である。図-10  
 に種々の $E_{sv}$ に  
 よる、底板、側  
 板変位を示す。

地盤が剛になるにつれ、側板の変位が小さくなる。

#### 4. ホウビ 弾性基礎上のタンクの温度応力解析

FSMを適用し、特に複雑な温度分布のさいには非常に有効な解析方法であることとを2,3の数値計算例で示した。  
 参考文献 1) 岩村 仁他: 弾性基礎上の円筒形タンクの温度応力解析, 船舶技術協会誌, 52年(2) Cheung, Y.K.: Finite Strip Method in Structural Analysis Pergamon press, 1976

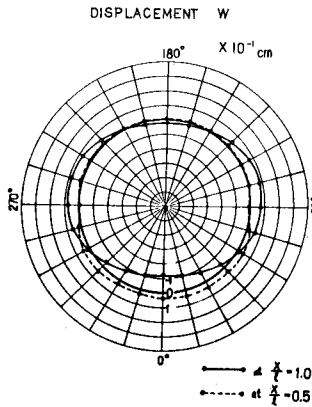


図-4 変位  $w$

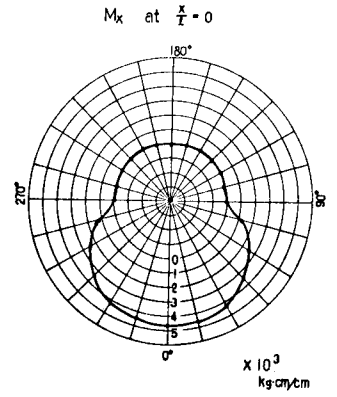


図-5 曲げモーメント  $M_x$

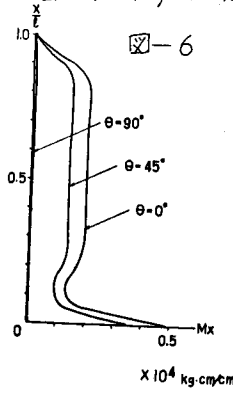


図-6

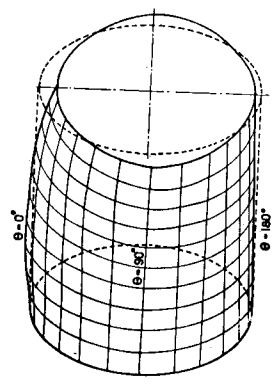


図-7 変位

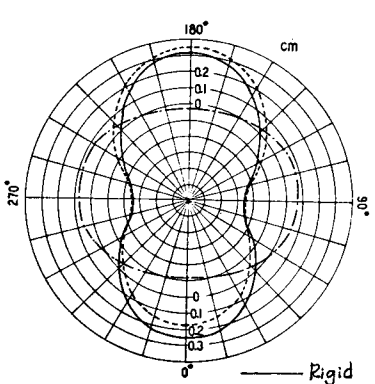


図-8 変位

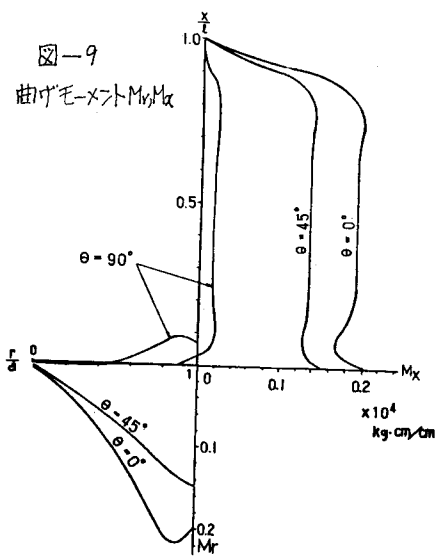


図-9 曲げモーメント  $M_x$

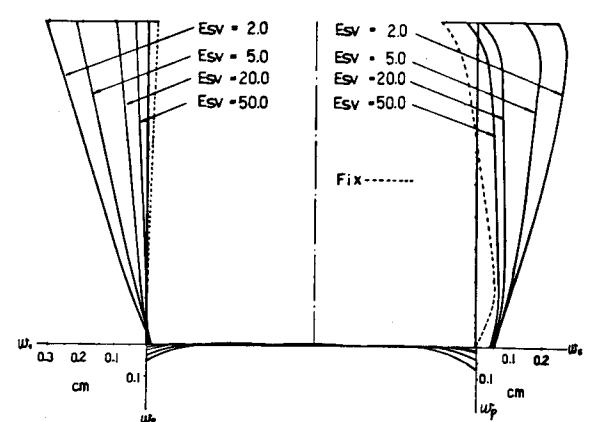


図-10 底板、側板の変位